

ミニコンを用いたスペクトル解析について

正 名城大学理工学部 〇官 村 篤 典
同 立 川 剛

§1. まえがき

近年、電子計算機の発達と共にいわゆるミニコンの利用が容易となり、従来では困難とされた諸問題の直接解析が可能となりつつある。特に、時系列データの解析処理、それを実時間あるいはそれに近い処理を要する場合、必ずしも大型計算機による端末処理よりも、比較的廉価なミニコン処理システムの方が効果的な場合もある。保守管理を含め経済的側面ばかりでなく、第一次記憶領域を補強されるが、利用ソフトの開発もあって従来の単一的機能とばかりでは解析装置より便利を奏し見出せる場合が少なくない。さらには、OEM 的利用という観点から効果が高いと考えられる。ここでは、A-D 変換処理も含めた時系列データのスペクトル解析という立場から見たミニコン処理システムについて報告する。

§2. 解析システムについて

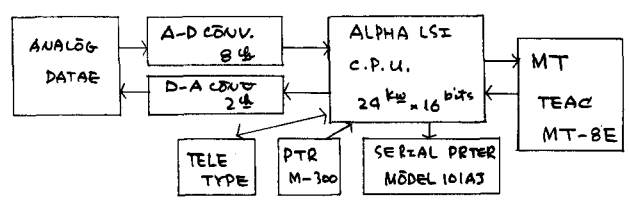
※2-1 図は本解析システムを中心とするミニコン（ALPHA LSI）のもつ基本的なソフトウエアの一覧表なのである。いわゆるアセンブラ言語は、ミニコンの BETA ASSEMBLER に相当するが、入出力をより一貫効果的とするため各種の編集機能を備えた OMEGA CONVERS. ASSEMBLER は会話形式の処理が可能となっているのでプログラム作業が容易となる。このアセンブラは※2-2 図に示すように合計 168 種の基本インストラクションを有し、これらは 7 Class に分けられる。このようなソフトウエアを有するミニコンを用いた解析システムは※2-3 図に示すような装置より構成される。すなわち、ミニコン（ALPHA LSI）の C.P.U. を中心に入力装置として PTR および TTY を用い、出力装置として SERIAL PRINTER および TTY を用い、その他、補助記憶装置として磁気テープが追加される。このようなシステムにより解析を行うに当り、通常想定される対象データとして例えば地震波形記録あるいは常時微動記録等時系列データに属するものなる場合は、プログラムとしてデータレコーダ等の一次貯蔵がなされることが多い。このため、本システムは図示のようにミニコンを介した 8ch の A-D 変換、さらに 2ch の D-A 変換装置をもつ。この場合の記憶媒体は C.P.U. 内の Buffer Core Memory および磁気テープが当てられる。およびハードウェアソフトシステムの周りは先述のアセンブラ言語に基づく諸プログラム

- | | |
|---|--------------------------------|
| 1 | AUTŌ-LOAD |
| 2 | BLD/BINARY LOAD |
| 3 | BDP/VER BINARY DUMP/VERIFY |
| 4 | OBJECT LOAD |
| 5 | BETA ASSEMBLER |
| 6 | OMEGA CONVERSATIONAL ASSEMBLER |
| 7 | DBG/DEBUG |
| 8 | SOURCE TAPE PREPARATION PROG. |

※2-1 図

Class 1	MEMORY REFERENCE	27
Class 2	DOUBLE WORD MEMORY REFERENCE	3
Class 3	BYTE IMMEDIATE	10
Class 4	CONDITIONAL JUMP	13
Class 5	SHIFT	16
Class 6	REGISTER CHANGE CONTROL	48
Class 7	INPUT/OUTPUT	33

※2-2 図



※2-3 図

$$\hat{P}(x) = \frac{N_x}{N \Delta \omega} \dots \dots \dots (3-2)$$

上式に $\Delta \omega$ は x の中心とする狭帯域中、 N_x は $x \pm \Delta \omega/2$ の範囲にある τ - ω 個数である。

ある τ をとり τ が周波数 f_s による等間隔時系列 τ - ω $x(nh)$, $n=1, \dots, N$ の Fourier 級数に $\Delta \omega$ と Δx である。

$$x(nh) = \sum_{m=0}^{N-1} X(f, \tau) \exp(j2\pi f n h) \dots \dots \dots (3-3)$$

$$X(f, \tau) = h \sum_{n=0}^{N-1} x(nh) \exp(-j2\pi f n h) \dots \dots \dots (3-4)$$

周知のように、J.W. Cooley と J.W. Tukey による FFT は変換を要する τ - ω 個数 2^M である場合には極めて高速にこの係数を求めることができる。 2^M 個と異なる τ - ω 群に対しては trailing zero を加えて適合化することになる。 上式より推定される $100\% \Delta \omega$ の $S(f)$ は下式で表わされる。

$$S_x(f_k) = \frac{2}{N h} |X(f_k, \tau)|^2 = \frac{2h}{N} |X_k|^2 \dots \dots \dots (3-5)$$

$$f_k = R/T = k/nh, \quad k = 0, 1, \dots, N-1$$

一方、この τ - ω $x(nh)$ に関する自己相関関数 (Auto-correlation function) の推定量は下式で与えられる。

$$\hat{R}_x(rh) = \frac{1}{N-r} \sum_{n=1}^{N-r} x(nh) x(\overline{n+r}h), \quad r=0, 1, \dots, m \dots \dots (3-6)$$

$$\hat{R}_x(0) = \frac{1}{N} \sum_{n=1}^N [x(nh)]^2 = \langle x^2(nh) \rangle \dots \dots \dots (3-7)$$

上式に r はおくれ数、 m は最大おくれ数であり、 $\hat{R}_x(0)$ は τ - ω の 2 乗平均値である。

$100\% \Delta \omega$ の $S(f)$ (3-5)、自己相関関数 (3-6) 式との間には、次を示す Wiener-Khinchine の関係が成立する。

$$\tilde{S}_x(f) = 2h \left[\hat{R}_0 + 2 \sum_{r=1}^{m-1} \hat{R}_r \cos\left(\frac{\pi r f}{f_c}\right) + \hat{R}_m \cos\left(\frac{\pi m f}{f_c}\right) \right] \dots \dots (3-8)$$

上式に \hat{R}_r はおくれ数 r に関する自己相関関数、 $f_c = 1/2h$; Nyquist 振動数を表わす。 一方、 $100\% \Delta \omega$ の推定量 $\tilde{S}_x(f)$ は真の $100\% \Delta \omega$ の $S_x(f)$ と Window Function $U_{rm}(f)$ と a Convolution で表現できる。 すなわち、

$$\tilde{S}_x(f) = \int_0^{\infty} S_x(\alpha) U_{rm}(f-\alpha) d\alpha \dots \dots \dots (3-9)$$

$$U_{rm}(f) = \int_{-\infty}^{\infty} u_{rm}(\tau) \exp(-j2\pi f \tau) d\tau \dots \dots \dots (3-10)$$

$u_{rm}(\tau)$ は時間領域における平均化関数である。 どのようなウィンドウ関数は、周知のように例として、長方形、Bartlett, Parzen, Hamming 等各種あるが、採択に当り「おくれのウィンドウ関数が最適」という概念はないようである。

以上既述した $200\% \Delta \omega$ の解析の名称は $3-1$ 図に示すとうりであるが、おくれの $200\% \Delta \omega$ による有領域を越える限り、減少するようには努めよう。 $3-2$ 図は時系列 τ - ω とし、名古屋市内における常時観測測定記録を既述の DATA ACQUISITION PROG. の A-D 変換後、 $100\% \Delta \omega$ の解析に例である。

Parzen 形のウィンドウ関数を用いた Window closing による平滑化の採相を示したもので、ウィンドウ中に対応する $200\% \Delta \omega$ の曲線の変化程度を理解することになる。

§4. 結 語

学部学生を対象とした「構造実験」および「学部卒業研究」の一部として用いられたことは、この解

析システムの内、時系列データのフーリエ解析プログラムに因りし報告を行なったが、CPU 対 MT の組合せに
 システム既述の FILE MANAGER PROG. に利用する方は設計当初想定した水準以上にするべく結果を呈し
 ているようである。現時点の研究中の利用法として、本学設置の動電形加振台の入力制御、すなわち既往の強
 震記録あるいは適切な条件のもとに作製された人工地震波を再現することおよび加振台上の構形各部の出入ター
 タの解析があるが、その詳細については後述する。

なお、本システム作成に因りし、中日電子工業所・平岩氏より多大の尽力を頂戴しました。

<参考文献>

1. DAS 1000C 形データ集録装置取扱説明書 中日電子工業所 昭和50年6月
2. FILE MANAGER 取扱説明書 中日電子工業所 昭和50年9月
3. Software Manual for ALPHA LSI Computer Auto. Inc. 1974
4. エネルギー学会 地震応答解析と実例 昭和48年
5. 徳文訳 Bendat, J.S. Piersol, A.G. ランダムデータの統計的処理 培風館 昭和51年
6. 竹内吉弘 建築構造物における地震応答の確率過程に関する研究 京都大学博士論文 昭和49年
7. Cooley, J.W. Tukey, J.W. An Algorithm for the Machine Calculation of Complex
 Fourier Series Math. Comp. 19, April 1965

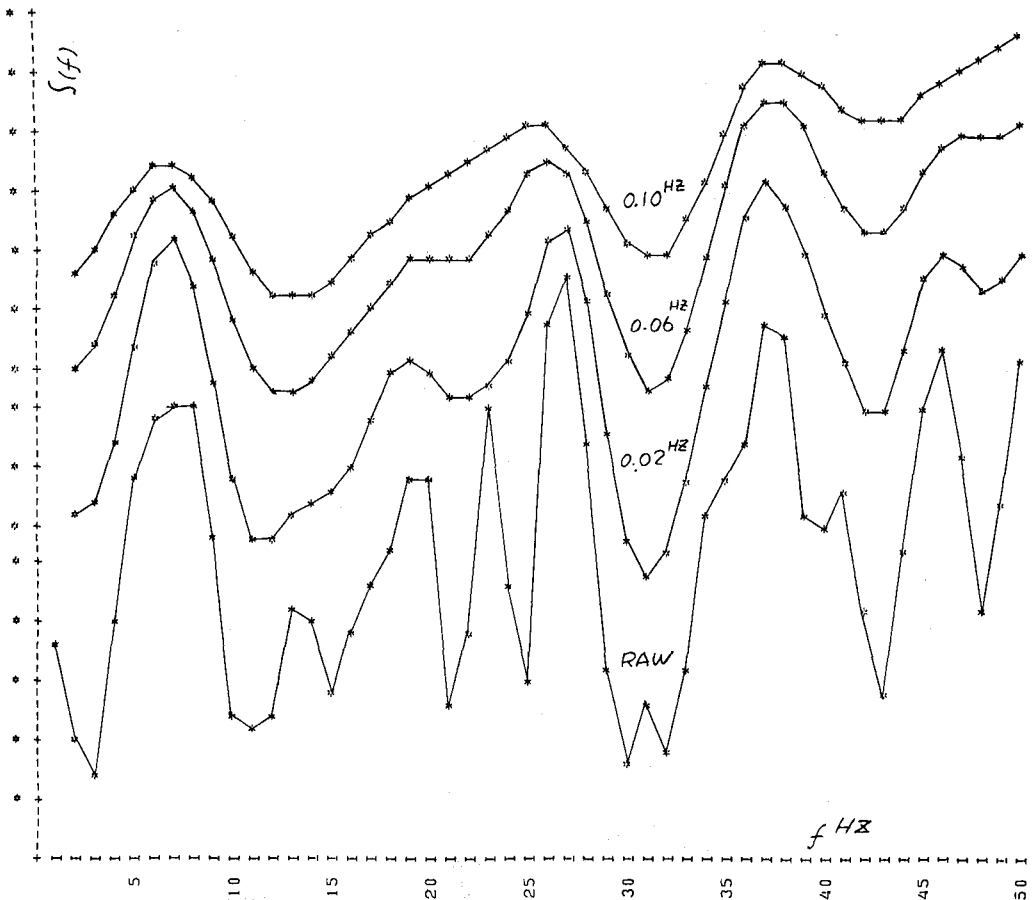


図 3-2